

УДК 621.983

Гордійчук В.А. студ., Калюжний В.Л. д.т.н., проф.

Національний технічний університет України "Київський політехнічний інститут імені Ігоря Сікорського", м. Київ

## ГАРЯЧЕ ЗВОРОТНЕ ВИДАВЛЮВАННЯ ВІСЕСИМЕТРИЧНИХ ПОРОЖНИСТИХ ВИРОБІВ ІЗ ВИСОКОВУГЛЕЦЕВОЇ СТАЛІ

Методом скінченних елементів проведений аналіз гарячого зворотного видавлювання вісесиметричних порожнистих виробів із високовуглецевої сталі ASSI 1060. Встановлено вплив швидкості деформування на зусилля видавлювання, зміну температури при формоутворенні, напружено-деформований стан металу при гарячому формоутворенні. Приведені залежності зусилля видавлювання від переміщення пуансонів, показані розподіли напружень у zdeформованій заготовці в кінці видавлювання. Виявлений розподіл питомих зусиль на поверхнях контакту заготовки з деформуючим інструментом при максимальному зусиллі видавлювання. Показаний кінцевий деформований стан після видавлювання.

Ключові слова: гаряче видавлювання, метод скінченних елементів, порожнистий виріб, швидкість деформування, зусилля видавлювання, напруження, деформації.

Метою роботи є визначення і порівняння параметрів гарячого видавлювання вісесиметричних порожнистих виробів при формоутворенні з різною швидкістю деформування.

На рис. 1 приведений ескіз порожнистого виробу, який необхідно отримати гарячим видавлюванням. Встановлення параметрів проводили шляхом моделювання методом скінченних елементів з використанням програми DEFORM. Видавлюванню із коефіцієнтом тертя  $\mu=0,2$  та швидкостями деформування  $V=7$  мм/сек та  $V=20$  мм/сек підлягали циліндричні заготовки із сталі AISI 1060 діаметром  $D_0=180$  мм і висотою  $H_0=190$  мм. Розміри пуансона для видавлювання визначалися по розмірах порожнини з висотою калібруючого пояса 2 мм, а розміри матриці – по розмірах зовнішньої поверхні виробу.

На рис. 2 приведені в розрізі розрахункові положення деформуючого інструменту і заготовки на різних стадіях видавлювання. Положення на початку видавлювання зображене на рис. 2а. Вихідна заготовка 1 розміщена в матриці 2 і спирається нижнім торцем на конічну поверхню. Течія металу по цій поверхні обмежена виштовхувачем 3. Зусилля деформування прикладали за допомогою пуансона 4. На рис. 2б наведено положення при переході процесу

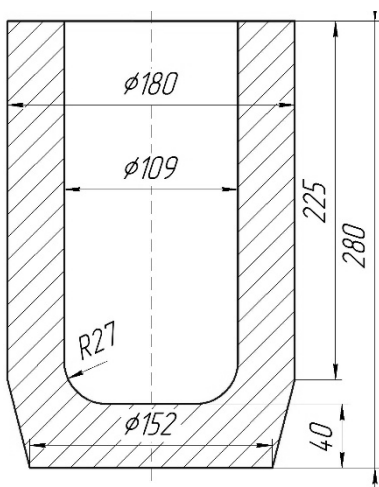


Рис. 1 – Ескіз порожнистого виробу

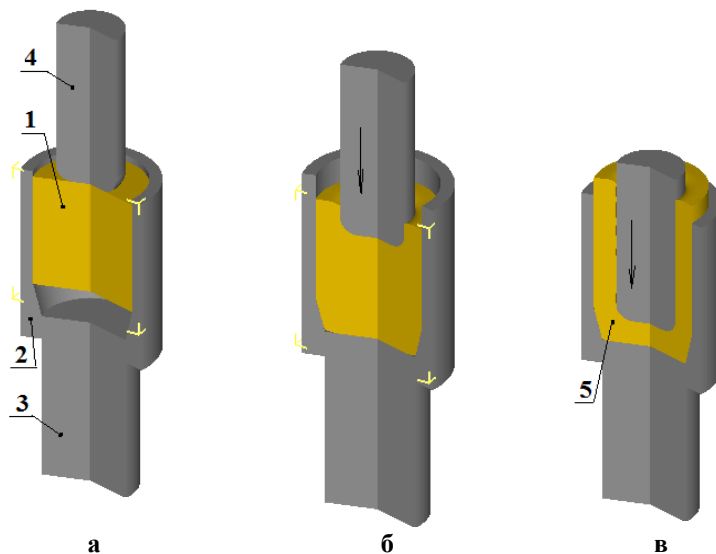


Рис. 2 – Розрахункові положення деформуючого інструмента на різних стадіях видавлювання: а – на початку видавлювання, б – на переході процесу в усталену стадію, в - в кінці видавлювання

видавлювання в усталену стадію, на якій спостерігається незначне збільшення зусилля деформування. Положення в кінці видавлювання з отриманням виробу 5 зображене на рис. 2в.

На рис. 3 показані залежності зусилля видавлювання від переміщення пуансонів. Вигляд залежностей для видавлювання з різними швидкостями деформацій практично однаковий. Процеси видавлювання переходять в усталену стадію при переміщенні пуансонів 80 мм і різними величинами зусиль  $P_d$ :  $P_d=5,6$  МН для  $V=20$  мм/сек і  $P_d=5,9$  МН для  $V=7$  мм/сек. На усталеній стадії зусилля видавлювання із швидкістю  $V=7$  мм/сек зростає інтенсивніше і досягає величини  $P_d=6,71$  МН в кінці видавлювання, а при видавлюванні із  $V=20$  мм/сек в кінці видавлювання отримано  $P_d=5,8$  МН. В обох випадках видавлювання переміщення пуансона в кінці видавлювання складає 205 мм. Зниження зусилля деформування при формоутворенні із  $V=20$  мм/сек забезпечується завдяки меншому охолодженню здеформованого металу в процесі видавлювання. На рис. 4 наведені розподіли температури у здеформованому металі в кінці процесів видавлювання. Для видавлювання із  $V=7$  мм/сек температура у стінці знижується з 980 °С до 780 °С на шарах металу зі сторони порожнини та до 510 °С на зовнішніх шарах (рис. 4а). У донній частині заготовки є невелика зона з величиною температури 870 °С. В іншому випадку видавлювання температура відповідно знижується до величин 890 °С і 650 °С у стінці. А в донній частині отримано 890 °С. При цьому зона з такою температурою значно більша.

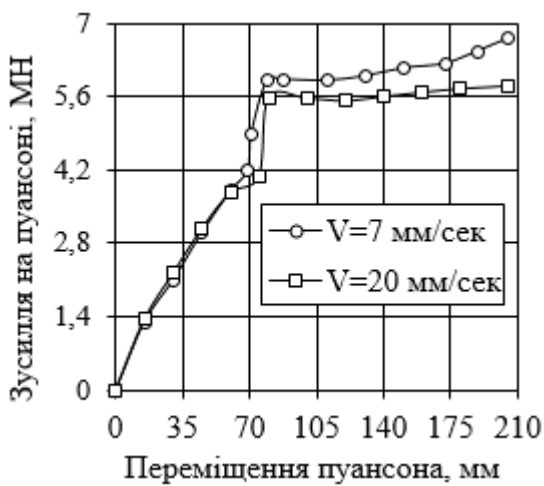


Рис. 3 - Залежності зусилля витягування від переміщення пуансона

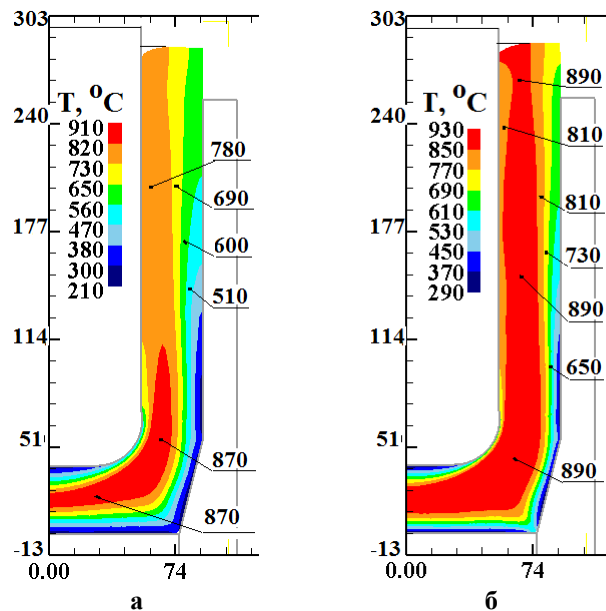


Рис. 4 – Розподіли температури у здеформованому металі в кінці процесів видавлювання: а – видавлювання із  $V=7$  мм/сек, б - видавлювання із  $V=20$  мм/сек

На рис. 5 наведені розподіли компонент напружень при максимальному значенні зусилля  $P_d$  для видавлюванні із  $V=20$  мм/сек. Розподіл радіальних напружень  $\sigma_r$  зображений на рис. 5а. У донній частині ці напруження знаходяться в межах  $\sigma_r=-295\div-795$  МПа. Величини осьових напружень  $\sigma_z$  у донній частині в зоні біля вісі симетрії збільшуються по абсолютній величині і досягають величини  $\sigma_z=-930$  МПа, а в зоні переходу донної частини у стінку отримано  $\sigma_z=-240$  МПа (рис. 5б). Розподіл тангенціальних напружень  $\sigma_\theta$  (рис. 5в) практично однаковий з розподілом осьових напружень  $\sigma_z$ . На рис. 5г наведений розподіл нормальних напружень  $\sigma_n$  на поверхнях заготовки, які контактують з деформуючим інструментом. По напруженнях  $\sigma_n$  можна оцінити питомі зусилля на інструменті. Найбільші величини питомих

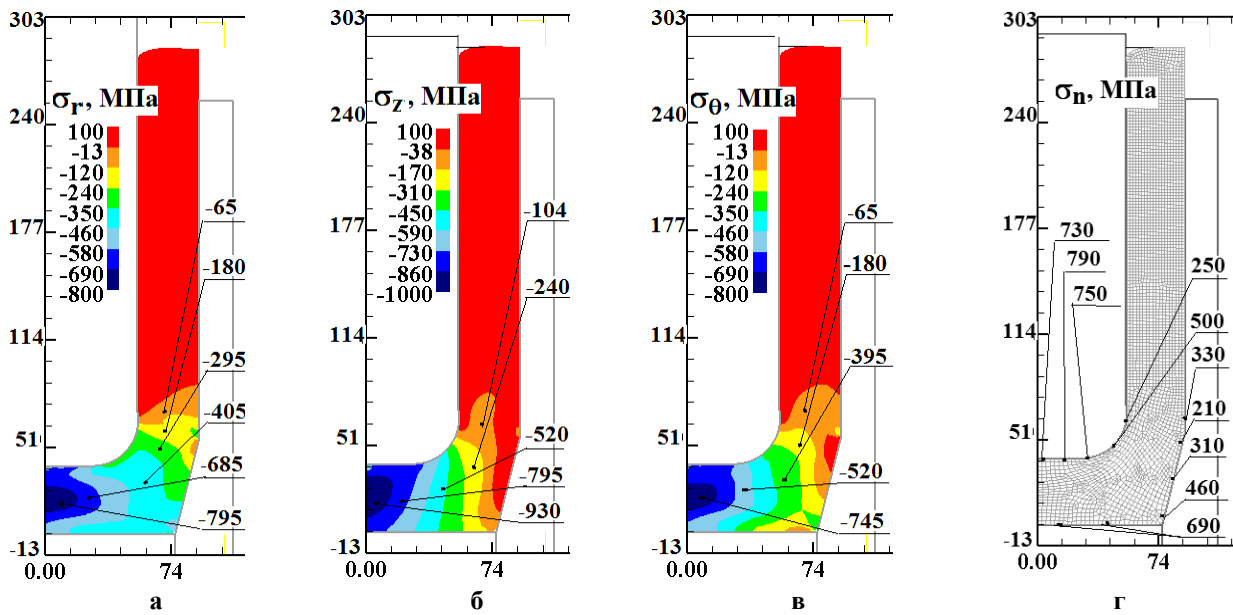


Рис. 5 - Розподіли напружень у здеформованій заготовці при максимальному зусиллі видавлювання із  $V=20$  мм/сек: а – розподіл радіальних напружень  $\sigma_r$ , б – розподіл осевих напружень  $\sigma_z$ , в - розподіл тангенціальних напружень  $\sigma_\theta$ , г - розподіл нормальних напружень  $\sigma_n$

зусиль виникають на поверхні пуансона та знаходяться в межах  $\sigma_n=250\div790$  МПа. На виштовхувачі отримано  $\sigma_n=690$  МПа. На поверхні матриці найбільша величина цих напружень складає  $\sigma_n=460$  МПа. Розподіли компонент кінцевих деформацій для видавлювання із  $V=20$  мм/сек приведені на рис. 6. Розподіл радіальних деформацій  $\epsilon_r$  показаний на рис. 6а. Стискаючі деформації  $\epsilon_r$  виникають тільки на внутрішніх шарах металу стінки. Осеві розтягувальні деформації  $\epsilon_z$  виникають у стінці здеформованої заготовки (рис. 6б). Тангенціальні деформації  $\epsilon_\theta$  отримані розтягувальними по всьому об'єму здеформованого металу (рис. 6в). На рис. 6г наведений розподіл інтенсивності деформацій  $\epsilon_i$ . По ширині стінки величини цих деформацій змінюються від  $\epsilon_i=0,29$  у зовнішніх шарах металу до  $\epsilon_i=1,8$  у внутрішніх шарах.

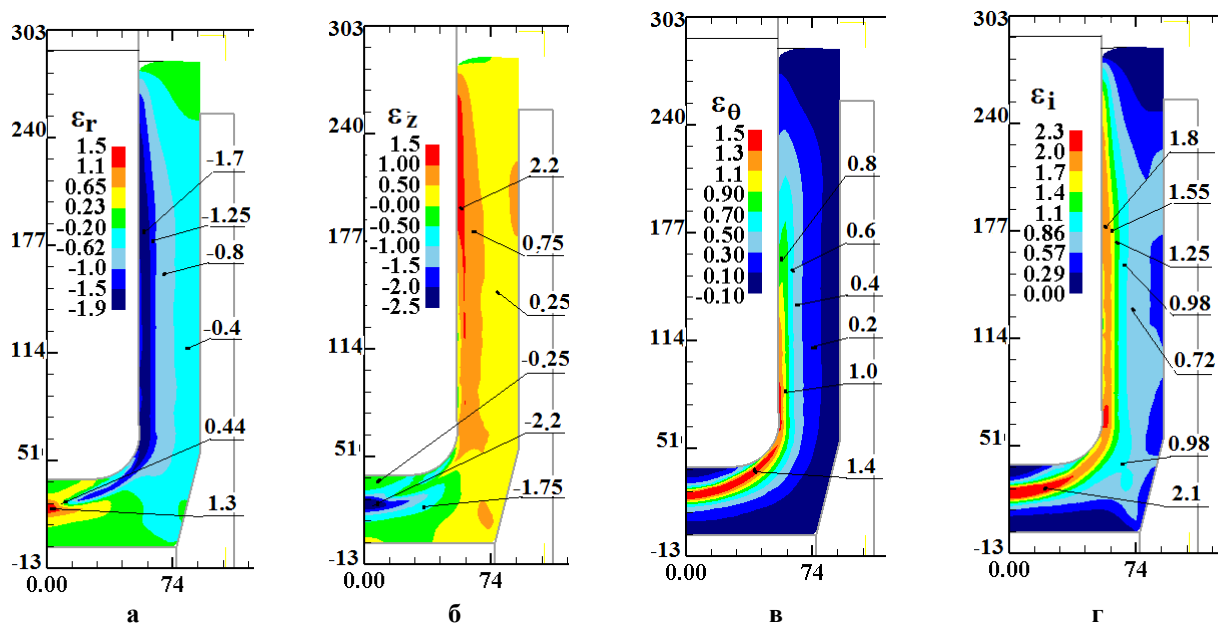


Рис. 6 - Розподіли компонент кінцевих деформацій для видавлювання із  $V=20$  мм/сек: а – розподіл радіальних деформацій  $\epsilon_r$ , б – розподіл осевих деформацій  $\epsilon_z$ , в - розподіл тангенціальних деформацій  $\epsilon_\theta$ , г - розподіл інтенсивності деформацій  $\epsilon_i$